

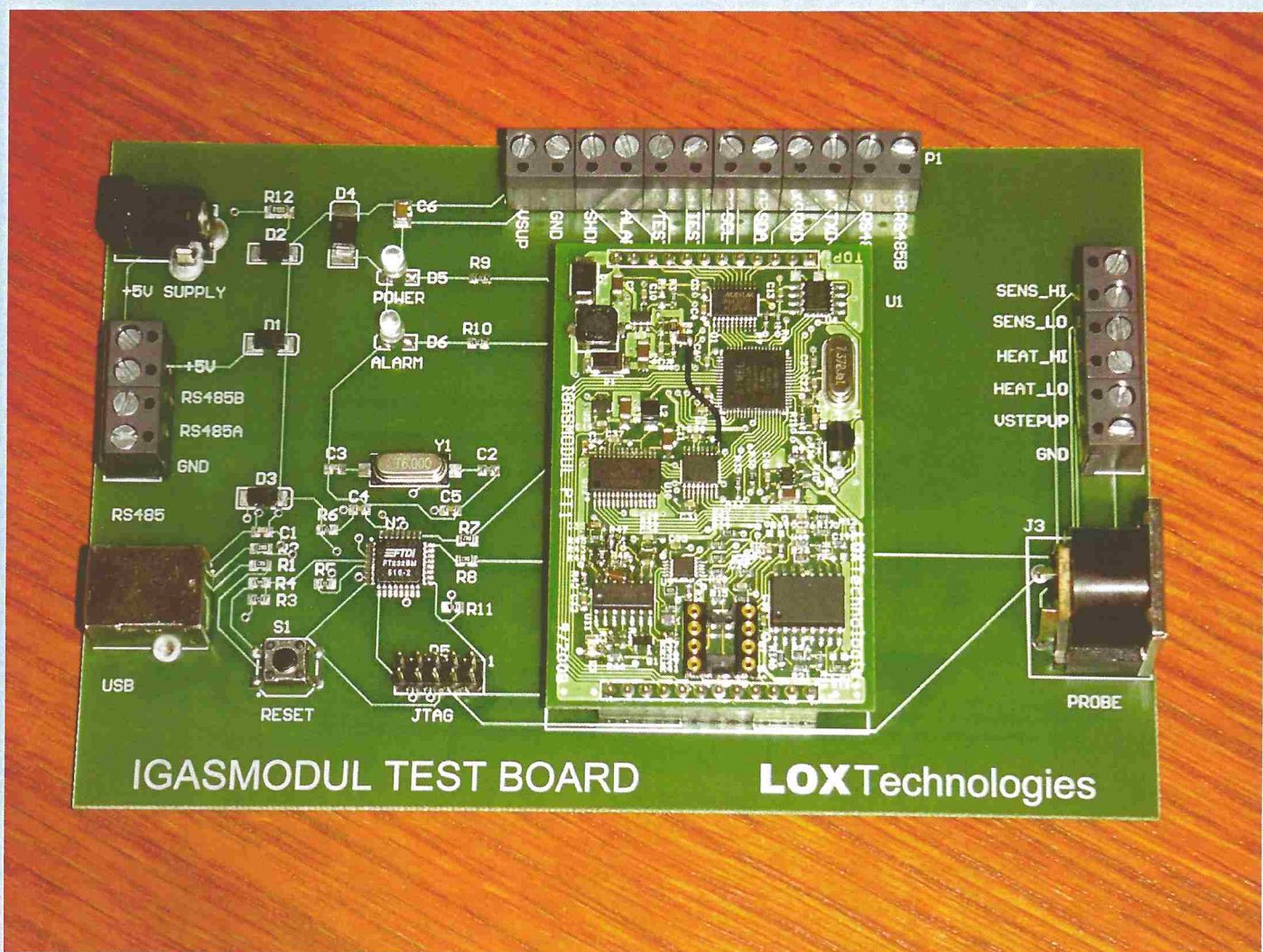
Metrológia a skúšobníctvo

4/2012

ročník XVII

december 2012

číslo 4



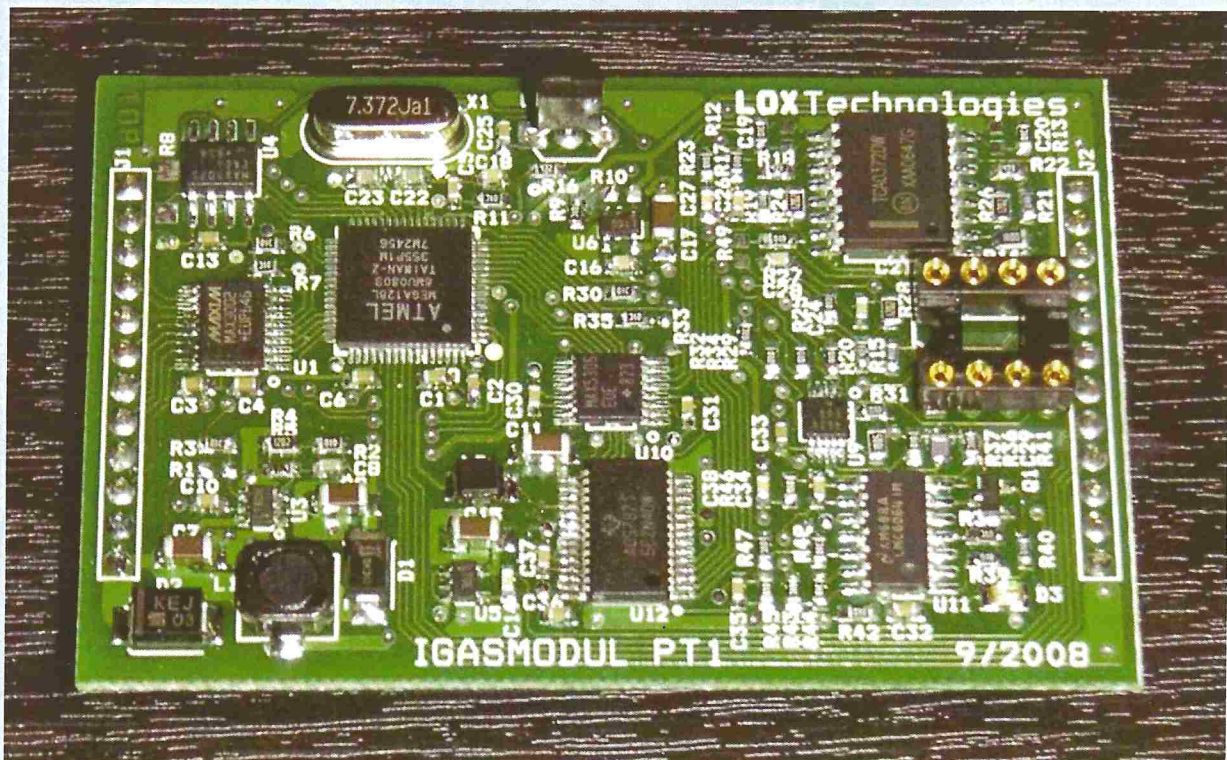
ISSN 1335-2768



12

K článku Detekcia nízkych koncentrácií plynov a pár organických zlúčenín pomocou mikrosenzorových prvkov

(s. 3 – 9)



Inteligentný merací modul realizovaný využitím SMT technológie



Meracia sonda so zabudovaným mikrosenzorovým čipom

OBSAH

Prihovor 2

VÝSKUM A VÝVOJ

- Ivan Hotový, Martin Predanoc, Dalibor Búč, Eduard Burian
Detekcia nízkych koncentrácií plynov a párov organických zlúčenín pomocou mikrosenzorových prvkov 3
- Milan Tyšler, Jana Švehliková, Jana Lenková
Elektrokardiografické zobrazovanie – nová metóda na neinvazívnu diagnostiku srdcových chorôb 10

ŠTÚDIE A PREHĽADY

- Peter Kukuča
Smart metering a metrológia 19
- Luboš Kučera, Lukáš Faturík, Jozef Mudrák
Miloš Ujlaky, Ondrej Pritula, Tomáš Peták
Možnosti zvyšovania kvalitatívnych parametrov kalibrácie a hodnotenia veľkoobjemových nádrží na uhľovodíkové palivá 23
- Peter Pavlásek, Martin Koval, Stanislav Ďuriš
Vplyv homogenity na presnosť merania termoelektrickými snímačmi teploty 28
- Pavol Doršic
Meranie a meradlá rýchlosť v cestnej doprave
4. časť: Často opakovane otázky 35
- A. A. Abduvaliev, G. A. Gaziev, A. B. Sadykov
Formovanie a rozvoj regulačných systémov v oblasti metrológie a skúšobníctva nezávislého Uzbekistanu 40

INFORMÁCIE

- Ivan Mikulecký
90 rokov od pristúpenia Československej republiky k Metrickej konvencii 42
- Martin Halaj
Informácia o činnosti technickej komisie TK 110 Metrológia 44
- Stanislav Ďuriš
Školenie auditorov COOMET v Moldavsku 45
- Ing. Arpád Gonda vymenovaný do funkcie generálneho riaditeľa SMU 46
- Martin Halaj
Európsky metrologický program pre inovácie a výskum (EMPIR) 46
- Ponuka vzdelávacích aktivít v oblasti metrológie, systému manažérstva kvality a akreditácie laboratórií 47

CONTENTS

Editorial 2

RESEARCH AND DEVELOPMENT

- Ivan Hotový, Martin Predanoc, Dalibor Búč, Eduard Burian
Detection of low gas and organic vapours concentrations using microsensor elements 3
- Milan Tyšler, Jana Švehliková, Jana Lenková
Electrocardiographic imaging – a new method for noninvasive diagnostics of heart diseases 10

ESSAYS AND SURVEYS

- Peter Kukuča
Smart metering and metrology 19
- Luboš Kučera, Lukáš Faturík, Jozef Mudrák
Miloš Ujlaky, Ondrej Pritula, Tomáš Peták
Possibility of increase of calibration quality parameters and assessment of large volume tanks for hydrocarbon fuels 23
- Peter Pavlásek, Martin Koval, Stanislav Ďuriš
Influence of homogeneity on accuracy of measurement by thermoelectric temperature sensors 28
- Pavol Doršic
Measurement and measuring instruments for speed in road traffic. Part 4: Frequently asked questions 35
- A. A. Abduvaliev, G. A. Gaziev, A. B. Sadykov
Formation and development of measuring regulation system and testing of independent Uzbekistan 40

INFORMATION

- Ivan Mikulecký
90 Anniversary of accession to Metric Convention 42
- Martin Halaj
Information on activity of Technical Committee 110 Metrology 44
- Stanislav Ďuriš
Training of COOMET auditors in Moldavia 45
- Ing. Arpád Gonda, appointed as director general of Slovak Institute of Metrology 46
- Martin Halaj
The European Metrology Programme for Innovation and Research (EMPIR) 46
- Offer of education activities in the field of metrology, QMS and laboratory accreditation 47

Všetky články časti Výskum a vývoj boli recenzované.

Foto na obálke: Integrácia inteligentného meracieho modulu na meracej doske spolu s fyzickou vrstvou. K článku Detekcia nízkych koncentrácií plynov a párov organických zlúčenín pomocou mikrosenzorových prvkov (s. 3 – 9)

All articles of the section Research and Development were reviewed.

Photo on cover: Integration of the intelligent measuring module on the measuring board together with physical layer. Illustration to the article Detection of low gas and organic vapours concentrations using microsensor elements, pp. 3-9.

Vydáva: Úrad pre normalizáciu, metrológiu a skúšobníctvo Slovenskej republiky, Štefanovičova 3, 810 05 Bratislava 15

Redakčná rada

RNDr. Ing. Ján BARTL, CSc.
Ing. Stanislav ĎURIŠ, PhD. – podpredseda
Ing. Peter GALO
doc. Ing. Martin HALAJ, PhD.
prof. Dr. Janko HODOLÍČ
doc. Ing. Jaroslava KÁDÁROVÁ, PhD.
RNDr. Jozef KADLEČÍK

prof. Ing. Peter KNEPPO, DrSc.
Ing. František LENÁRD
prof. Ing. Jozef LIPKA, DrSc. – predseda
Ing. Stanislav MUSIL, PhD.
RNDr. Peter NEMEČEK, PhD.
RNDr. Anna NEMEČKOVÁ
prof. Ing. Rudolf PALENČÁR, PhD.

prof. Dr. Anatolij POCHODUN
Mgr. Martin SENČÁK
prof. Ing. Ľubomír ŠOOŠ, PhD.
RNDr. Jiří TESAŘ, PhD.
Ing. Renáta TURISOVÁ, PhD.
doc. Ing. Milan TYŠLER, CSc.
Dr. h. c. prof. Ing. Jozef ŽIVČÁK, PhD.

DETEKCIA NÍZKYCH KONCENTRÁCIÍ PLYNOV A PÁR ORGANICKÝCH ZLÚČENÍN POMOCOU MIKROSENZOROVÝCH PRVKOV

Ivan Hotový, Martin Predanoc, Dalibor Búč, Eduard Burian

Abstrakt

Predmetom príspevku je poukázať na možnosť detektie nízkych koncentrácii plynov a párov organických zlúčenín pomocou mikrosenzorového prvku na báze NiO tenkých vrstiev, pričom sa detailne opisuje metodika prípravy takýchto nízkych koncentrácii plynov a párov v laboratórnych podmienkach. Druhá časť príspevku sa venuje vývoju inteligentného meracieho modulu, ktorý sa vyznačuje malými rozmermi, dostatočnou presnosťou a nízkou elektrickou spotrebou. Za účelom preukázania plnej kompatibility oboch zariadení boli uskutočnené merania nízkych koncentrácií vodíka a párov etanolu.

Kľúčové slová

detekcia plynov a párov; mikrosenzorový prvak; inteligentný merací modul

1 Úvod

Zhoršujúce sa životné prostredie, rýchly rozvoj automobilovej dopravy a vysoké emisie priemyselných škodlivín vyvolávajú zvýšený záujem vedeckých pracovísk o výskum a vývoj nových mikrosenzorických prvkov detegujúcich nízke koncentrácie plynov, ako aj párov organických zlúčenín. Veľké množstvo takýchto prvkov sa využíva aj pri monitorovaní životného prostredia. Avšak potreba detegovania rôznych znečistujúcich látok (napr. oxidy kyslíka, dusíka, síry, ozón, uhľovodíky) vyžaduje neustály výskum nových, miniatúrnych, inteligentných, jednoduchých a lacných mikrosenzorických prvkov, ktoré sú nenáročné na spotrebu elektrickej energie a obsluhu. Mikrosenzorické prvky sa musia vyznačovať vysokou citlosťou, selektivitou a stabilitou svojich parametrov. Medzi takéto prvky môžeme zaradiť aj polovodivé mikrosenzory plynov a párov využívajúce ako detekčné materiály kovové oxidy, ako sú SnO_2 , ZnO , TiO_2 a WO_3 , pričom práve SnO_2 patrí doposiaľ k najviac používaným [1-4]. Pri takomto typе senzora meranie špecifických oxidačných a redukčných plynov, ako aj párov organických zlúčenín je založené na reverzibilných zmenách vodivosti plynovo-citlivých materiálov pri teplotách do 500 °C, pričom sa využíva chemická aktivita ich povrchu.

Rozhrania pre chemoodporové mikrosenzorické prvky využívajú vo všeobecnosti buď konverziu elektrického odporu na napätie pre relatívne malé zmeny odporu, alebo elektrický odpor na frekvenciu pre veľmi veľké zmeny odporu (v rozmedzí viac ako troch rádov). Mikrosenzorické prvky obsahujúce tenké vrstvy oxidov kovov môžu meniť hodnotu svojho elektrického odporu pri styku s molekulami ply-

nov alebo párov oveľa významnejšie v dôsledku fyzisorpcie, chemisorpcie a katalytických reakcií (napr. interakcia s oxidačnými plynmi, ako NO_2 a O_3 , spôsobí vzrast elektrického odporu vo vrstve oxidu kovu n-typu v prípade SnO_2 a WO_3 , a pokles elektrického odporu vo vrstve oxidu kovu p-typu NiO a CoO).

Nové progresívne meracie systémy vhodné na detekciu nízkych koncentrácii plynov a párov vznikajú spojením mikrosenzorického prvku a inteligentného elektronického systému do spoločnej platformy, pričom sa využívajú štandardné, ako aj inovované mikroelektronické technológie prípravy, výkonné 8-bitové mikrokontroléry a precízne analógovo-digitálne rozhrania. Takéto meracie systémy nájdú svoje uplatnenie všade tam, kde sa vyžaduje veľmi nízka spotreba elektrickej energie, rýchla odozva na detekovanú látku, dlhodobá stabilita systému, ako aj reprodukovateľnosť merania. Medzi takéto aplikácie môžeme zaradiť prenosné zariadenia na monitorovanie životného prostredia, zabezpečenie kontroly kvality ovzdušia, ochranu osôb pred toxickejmi a zdraviu škodlivými plynmi. Meracie systémy môžu byť taktiež súčasťou priemyselných prístrojov na monitorovanie znečistenia ovzdušia, ako aj detekčných systémov na ochranu pred ohňom a výbušnými plynmi. Mikrosenzorické prvky spolu s vhodnou inteligentnou elektronikou budú v nedalekej budúcnosti tvoriť základ senzorových modulov, ktoré môžu byť integrované do meracích sietí.

2 Princíp a metodika prípravy nízkych koncentrácii plynov a párov organických zlúčenín

Na meranie prietokov nosného (dusík) a testovaného (vodík) plynu boli použité prietokometre Red-y GSC-A9ST-BB21 (firma Vöetling) s nominálnymi prietokmi 25, 100 a 1000 cm^3/min . Nerezové rúrky s priemerom 6 mm slúžia na distribúciu plynov a párov od zásobníka k zmiešavaču nosného a testovaného plynu. Celý systém rozvodу plynov je skonštruovaný tak, aby bola zabezpečená jeho vákuová tesnosť. Zo zmiešavača je zmes s požadovanou koncentráciou detegovaného plynu vedená do meracej komôrky.

prof. Ing. Ivan Hotový, DrSc., Ing. Martin Predanoc, Ing. Dalibor Búč, PhD.
Fakulta elektrotechniky a informatiky STU,
Ilkovičova 3, 812 19 Bratislava
ivan.hotovy@stuba.sk
Ing. Eduard Burian
LOX Technologies, Piešťany

Na detekciu pár organických rozpúšťadiel bol vytvorený vyvíjač pár (VP) fungujúci na princípe permeácie pár cez priespustné steny uvoľňujúci testované pary. Vyvíjač pár pozostáva z nádobia valcového tvaru a sklenej banky. Nádobka po naplnení požadovanou chemikáliou (etylalkohol, acetón a toluén) uvoľňuje pary testovaných organických zlúčenín cez steny PTFE trubičky do sklenej banky, ktoré sú ďalej unášané nosným plynom (napríklad N_2 , Ar alebo syntetický vzduch). Pri procese odparovania organických zlúčenín je dôležité udržiavať teplotu vyvíjača pár a transportného vedenia na konštantnej teplote s presnosťou hodnôt teploty $\pm 0,5$ °C. Pri zmene teploty dochádza k poklesu alebo nárastu permeačnej rýchlosťi odparovania organických zlúčenín zo zdroja pár, čo je potrebné bráť do úvahy pri stanovení koncentrácie pár. Pred a po každom meraní bola stanovená hmotnosť vyvíjača pár. Na tento účel boli použité mikrováhy Kern ACJ 120-4M (firma Kern and Sohn GmbH), ktoré umožňujú meranie malých hmotností s presnosťou 0,1 mg. Z úbytku hmotností spotrebovaného média bola určená výsledná koncentrácia testovaných pár pomocou vzťahu (1). Pri výpočte koncentrácie pár sa vychádza z pomeru mólovej hmotnosti nosného plynu M_{N_2} a testovanej organickej zlúčeniny M_{et} a z pomeru celkovej hmotnosti nosného plynu m_{N_2} a hmotnosti organickej zlúčeniny m_{et} vo výslednej zmesi. Koncentrácia je potom daná vzťahom (1)

$$C \text{ (ppm)} = \frac{m_{et} M_{N_2}}{m_{N_2} M_{et}} \times 10^6. \quad (1)$$

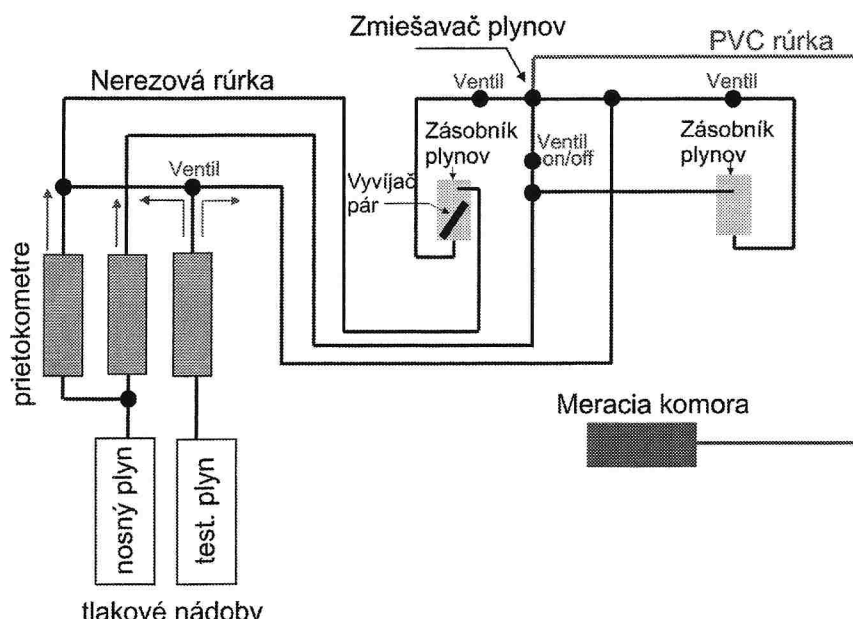
Pri detekcii nízkych koncentrácií plynov sa výsledná koncentrácia plynu C nastavila pomerom prietoku testovaného plynu (H_2) a nosného plynu (N_2) podľa vzťahu (2)

$$C \text{ (ppm)} = \frac{F_{mfc}}{F_{tot}} C_f \text{ (ppm)}, \quad (2)$$

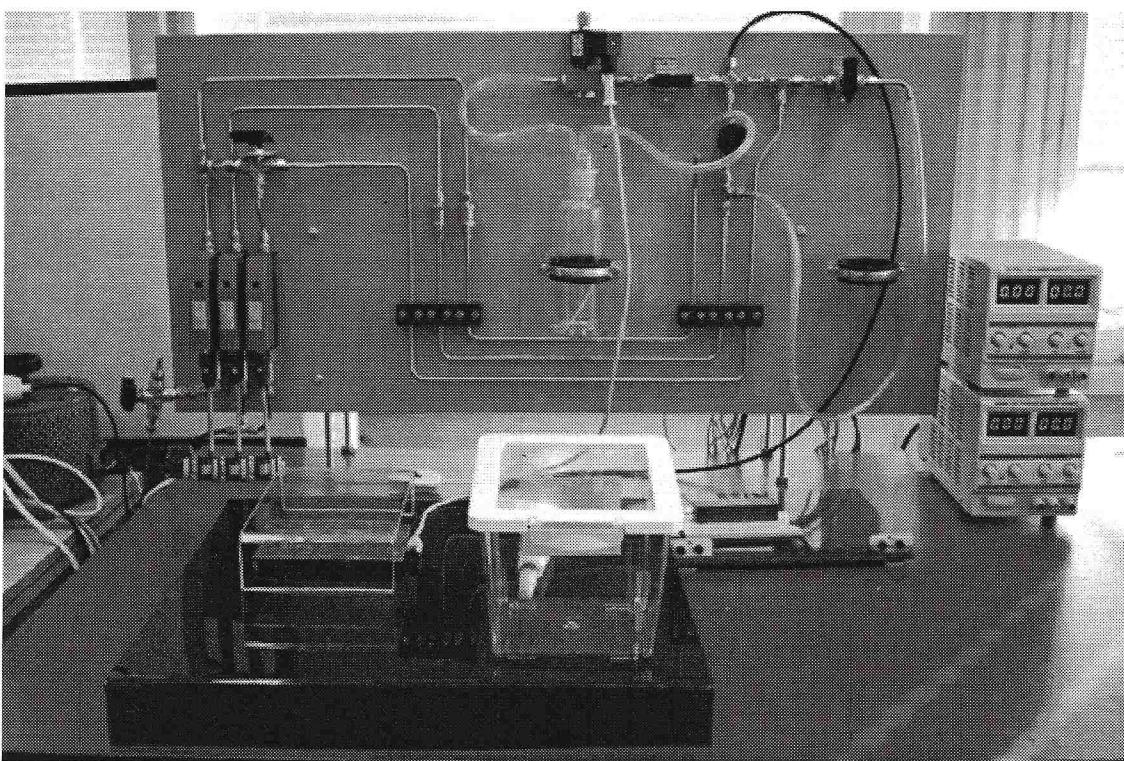
kde F_{mfc} je prietok testovaného plynu z tlakovej nádoby do prietokometra, F_{tot} je celkový prietok zmiešaného plynu v aparátu a C_f je koncentrácia testovaného plynu v tlakovej nádobe. Z dôvodu ustálenia pokojovej hodnoty elektrického odporu mikrosenzorového prvku bolo potrebné pred samotnou expozíciou testovaného plynu vyhriať a udržiavať teplovo aktívnej časti prvku na požadovanej hodnote minimálne po dobu 30 min. Po túto dobu bola meracia komora preplachovaná nosným plnom pri zachovaní jeho konštantného prietoku. Meranie prietokov napúšťaných plynov prebiehalo automatizované pomocou vytvoreného programu, ktorým osobný počítač ovláda prietokometre a zároveň zaznamenáva ich nastavené a namerané parametre. Pri každom meraní je veľmi dôležité dbať na konštantný prietok plynu v meracej komore z dôvodu teplotnej závislosti plynovo-citlivého materiálu mikrosenzorického prvku.

Príprava, nastavenie a meranie nízkych koncentrácií pár organických rozpúšťadiel prebiehali podobne ako v predchádzajúcim prípade, s tým rozdielom, že bol použitý len nosný plyn. Pary organických rozpúšťadiel boli uvoľňované z vyvíjača pár umiestneného v sklenej banke a unášané konštantným prietokom nosného plynu (20 cm³/min). Výsledná koncentrácia testovaných pár organických rozpúšťadiel bola vypočítaná podľa vzťahu (1), pričom bola vytvorená zmes podľa vzťahu (2), ktorá obsahovala pary organických rozpúšťadiel a nosný plyn.

Opis a schému pracoviska na prípravu nízkych koncentrácií plynov a pár organických zlúčenín zachytáva obr. 1. Mikrosenzorový prvok bol nakontaktovaný a umiestnený v meracej komore z nerezu. Malý objem testovacej komory 50 cm³ zabezpečuje rýchlu elektrickú odozvu mikrosenzorového prvku bez efektu oneskorovania. Fotografia na obr. 2 ukazuje vybudované pracovisko na prípravu nízkych koncentrácií testovaných plynov a pár organických zlúčenín.



Obr. 1. Schéma pracoviska na prípravu nízkych koncentrácií plynov a pár



Obr. 2. Pohľad na vybudované pracovisko umožňujúce prípravu a nastavenie nízkych koncentrácií plynov a párov organických zlúčenín

3 Mikrosenzorový prvok

Na detekciu plynov a párov organických rozpušťadiel bol používaný mikrosenzorový prvok, ktorý obsahoval plynovo-citlivý materiál na báze tenkej vrstvy oxidu niklu (NiO). Z elektrickej stránky predstavuje tento prvok dvojbran, ktorého vstupom je mikrovyhrievač a výstupom odpor snímacej aktívnej plynovo-citlivej vrstvy. Prechodomová funkcia tohto dvojbranu je daná materiálovými a topologickými vlastnosťami mikrosenzorového prvku, predovšetkým tepelnou vodivosťou a použitým materiálom v aktívnej vrstve, a napokon, vlastnou chemickou reaktivitou okolitej atmosféry, ktorú sa snažíme detegovať. Fyzikálny princíp merania je postavený na teplotnej závislosti prebiehajúcich reakcií aktívnej vrstvy s testovanou látkou pri zohriatí vrstvy na teplotu okolo 200°C až 400°C , pričom reaktivita sa meria poklesom prechodového odporu aktívnej vrstvy, typicky až o niekol'ko rádov (z desiatok až stovák $\text{M}\Omega$ na jednotky $\text{k}\Omega$). Kým doba aktivácie mikrosenzorového prvku, t. j. zohriatie plus odznenie reakcie aktívnej vrstvy s testovanou látkou, je pomerne krátka (rádovo jednotky sekúnd), relaxácia aktívnej vrstvy do neaktívneho stavu trvá typicky až desiatky minút. Na vyhriatie prvku na pracovnú teplotu je potrebný výkon v rádoch desiatok mW , pričom odpor vyhrievacieho meandra sa pohybuje v stovkách Ω . Odpor vyhrievacieho meandra je tak tiež funkciou teploty, čo možno využiť na reguláciu teploty aktívnej vrstvy na žiadanú hodnotu.

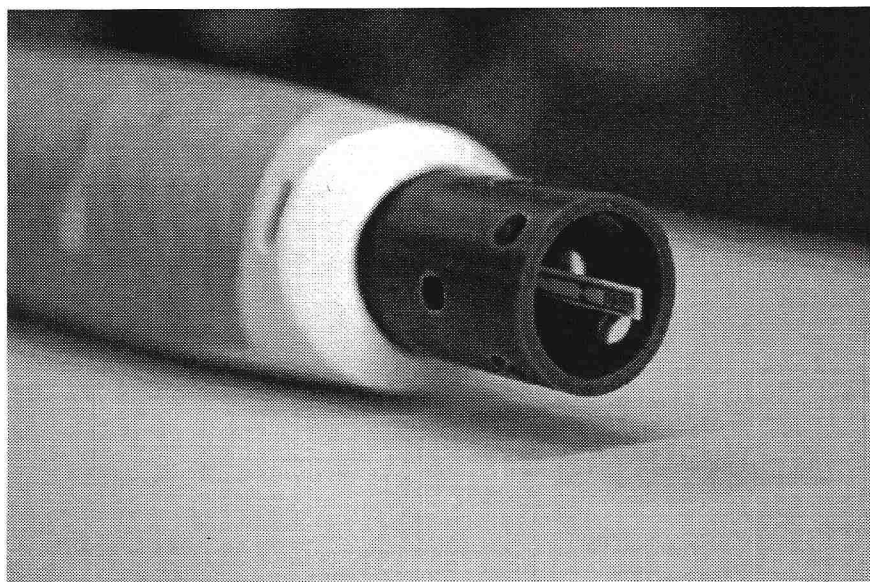
Nosným prvkom mikrosenzorového prvku bol $\sim 250 \mu\text{m}$ hrubý substrát z korundovej keramiky Al_2O_3 , ktorý zároveň plní elektroizolačnú funkciu. Veľkosť čipu bola $3 \times 3 \text{ mm}^2$. Mi-

krosenzorový prvok bol pripravený pomocou štandardných mikroelektronických technológií, pričom boli využité obe strany substrátu. Zadná strana obsahovala Pt mikrovyhrievač, ktorého úlohou bolo zabezpečiť pracovnú teplotu samotnej plynovo-citlivej vrstvy tak, aby sa dosiahlo čo možno najrovnomernejšie teplotné rozloženie. Predná strana prvku obsahovala sústavu meracích elektród, ako aj zmienený plynovo-citlivý materiál na báze NiO . Po dokončení technologickej procesu prípravy čipov nasledovala operácia kontaktovania Pt drôtikov na päťice pomocou bondovania a termokompresie a záverečná montáž mikrosenzorového čipu do meracej sondy (obr. 3).

4 Inteligentný merací modul a jeho integrácia

Kedže našim zámerom bola maximálna možná flexibilita analógového meracieho systému, a zároveň minimalizácia možných chýb v zapojení číslicovej časti, rozhodli sme sa pre využitie experimentálnej dosky na zapojenie analógovej časti meracieho systému a využitie univerzálnej dosky s mikrokontrolérom dodávanej výrobcom.

Mikrokontrolér ATMEL ATMega128L je k systémovému rozhraniu pripojený prostredníctvom napäťového translátora MAXIM MAX3002 a ovládača komunikačnej zbernice RS485 MAX3075. Vďaka translátoru môžu vstupné a výstupné signály nadobúdať napäťia v rozsahu povolených hodnôt napájania $3,3 \text{ V}$ až 5 V , nezávisle od konštantného napájacieho napäťia mikrokontroléra, ktoré je 3 V . Programovacie rozhranie mikrokontroléra typu JTAG je sprístupnené na testovacom rozhraní modulu, ktoré zároveň replikuje vý-

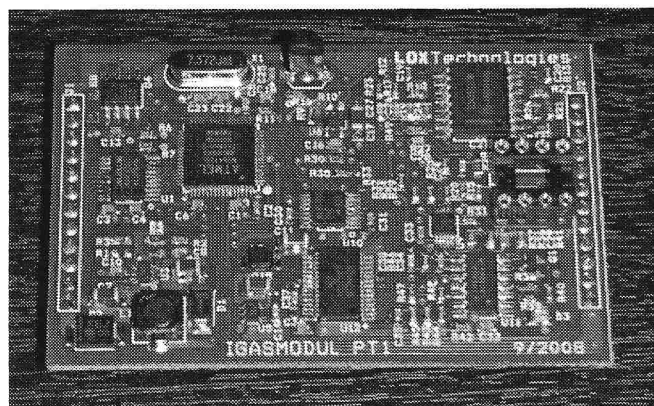


Obr. 3. Meracia sonda so zabudovaným mikrosenzorovým čipom

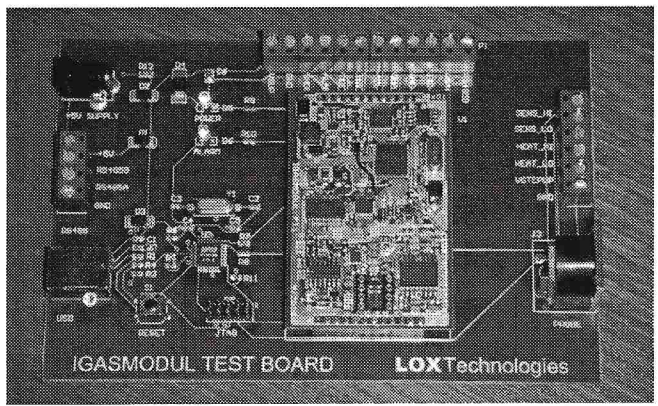
vody mikrosenzorového prvku a poskytuje aj interné zdroje napäť 12 V a 3 V. Napájací subsystém modulu tvoria obvody step-up konvertora typu LINEAR LT3467 a dva lineárne LDO regulátory LT1761 generujúce napäťia 3 V a 5 V. Vyhrievanie senzorového prvku a meranie odporu platinového meandra mikrovyhrievača je riešené výkonovým dvojitým operačným zosilňovačom ONSEMI TCA0372 v mostíkovom zapojení, ktoré umožňuje bipolárne napájanie záťaže pri vyhrievaní, resp. meraní odporu meandra. Vo vetve záťaže vyhrievača je zapojený sériový merací rezistor $1\ \Omega$ pre meranie veľkosti prechádzajúceho prúdu. Oba operačné zosilňovače pracujú v neinvertujúcom zapojení so zosilnením $5\times$, pričom deliče napäťia v zápornej spätnej väzbe slúžia zároveň na pripojenie meracích vstupov A/D prevodníka. Zapojenie logaritmického prevodníka, ktorý meria hodnoty vo-

divosti plynovo-citlivej vrstvy senzorového prvku, využíva precízny štvoritý CMOS operačný zosilňovač NATIONAL LMC6064, pri nesymetrickom 5 V napájaní, s analógovou zemou generovanou odporovým deličom. Pripájanie troch kalibračných vodivostí s odpormi $1\ k\Omega$, $100\ k\Omega$ a $10\ M\Omega$ je riešené analógovým multiplexorom MAX4634 s veľmi nízkym zvodovým prúdom a žiadane napätie na svorkách meranej vodivosti je riadené signálom z D/A prevodníka. Ako nelineárny prvok je využitá červená LED dióda.

Inteligentný merací modul bol realizovaný prakticky výlučne využitím SMT technológie, čo nám umožnilo dosiahnuť jeho miniatúrne rozmeru $60\times 45\ mm$, resp. $2/3$ plochy bežnej kreditnej karty (obr. 4a), pričom bol integrovaný na meraci dosku spolu s fyzickou vrstvou (obr. 4b).



a)

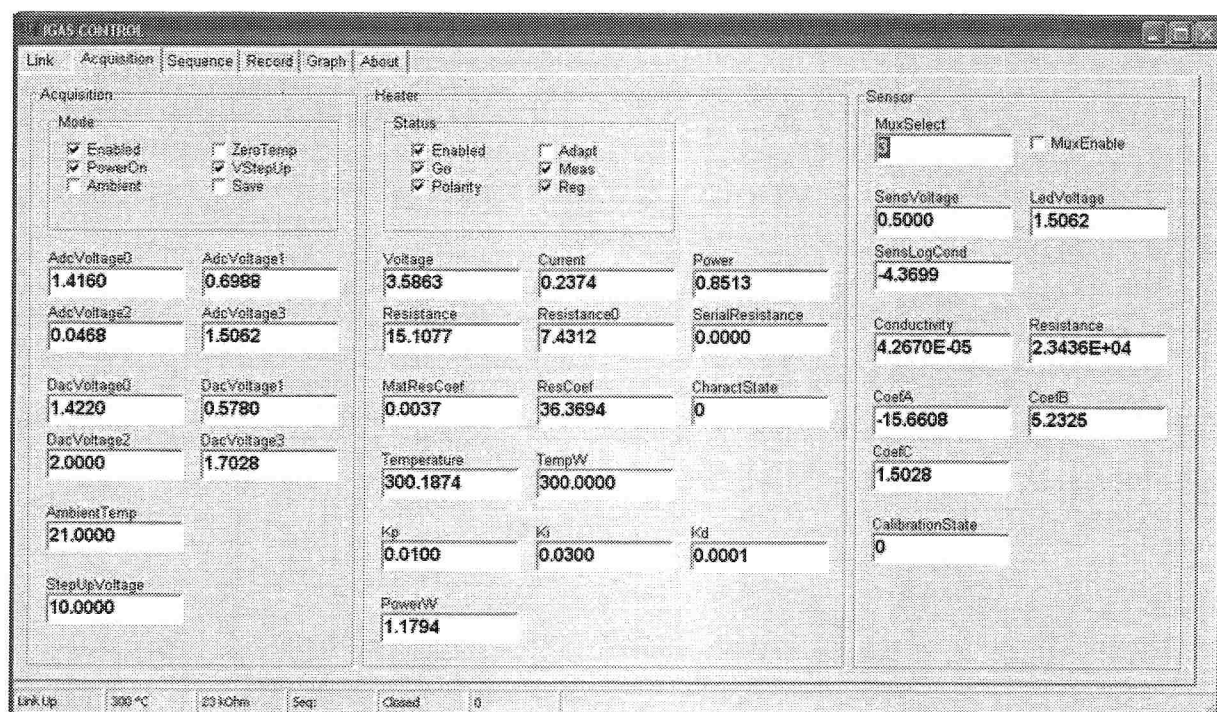


b)

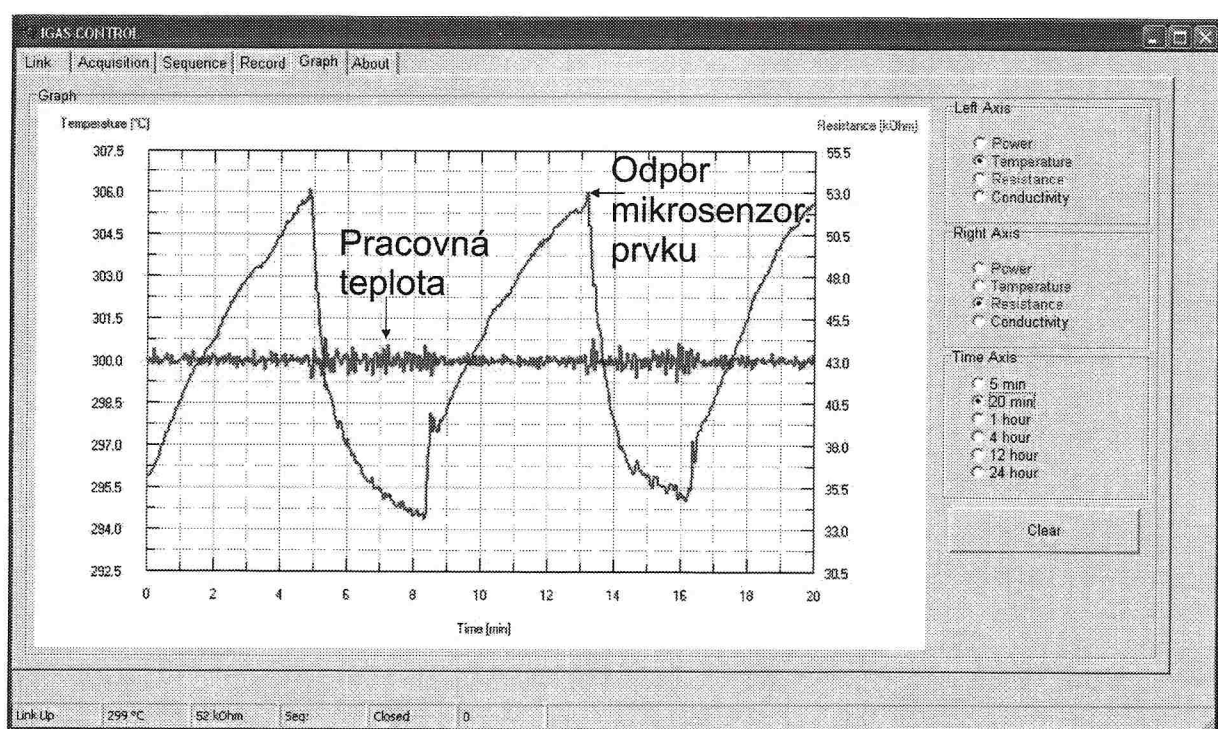
Obr. 4. Realizovaný merací modul (a) a jeho integrácia na meracej doske spolu s fyzickou vrstvou (b)

Programové vybavenie modulu predstavuje bootovací program naprogramovaný pomocou JTAG rozhrania mikrokontroléra a vlastný merací firmware, ktorý sa vďaka bootovaciemu programu napája cez sériové rozhranie RS232. Firmware zabezpečuje obsluhu periférií mikrokontroléra a meracieho modulu, obsluhu časového prerusenia a preru-

šenia komunikačných rozhraní, vlastný algoritmus vyhodnocovania merania, ako aj komunikačný modul kompatibilný so systémom DEX. Na strane osobného počítača bol vytvorený ekvivalentný komunikačný modul, spájajúci príslušné premenné oboch strán, s vytvoreným grafickým rozhraním pre užívateľsky pohodlné riadenie a záznam meraní (obr. 5).



a)



b)

Obr. 5. Grafické rozhranie pre riadenie merania v prostredí DEX (a) a ukážka časového záznamu merania pracovnej teploty a hodnoty odporu mikrosenzorového prvku počas detektie pár etanolu s koncentráciou 10 ppm (b)

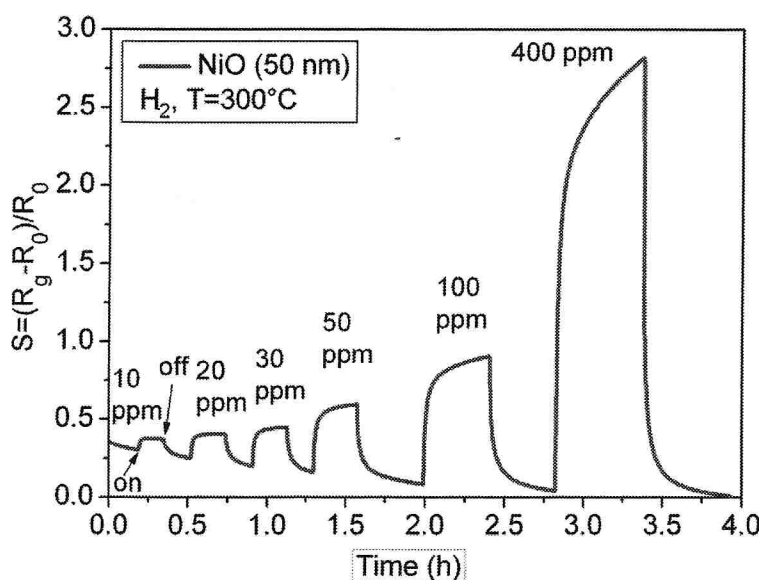
5 Elektrická charakterizácia nízkych koncentrácií vodíka a pár etanolu

Elektrický odpor NiO plynovo-citlivej vrstvy vzrástá pri expozičii párov etanolu, ako aj samotného vodíka, keďže tieto látky majú charakter redukčného plynu. Odozva mikrosenzorového prvku bola vypočítaná podľa vzťahu

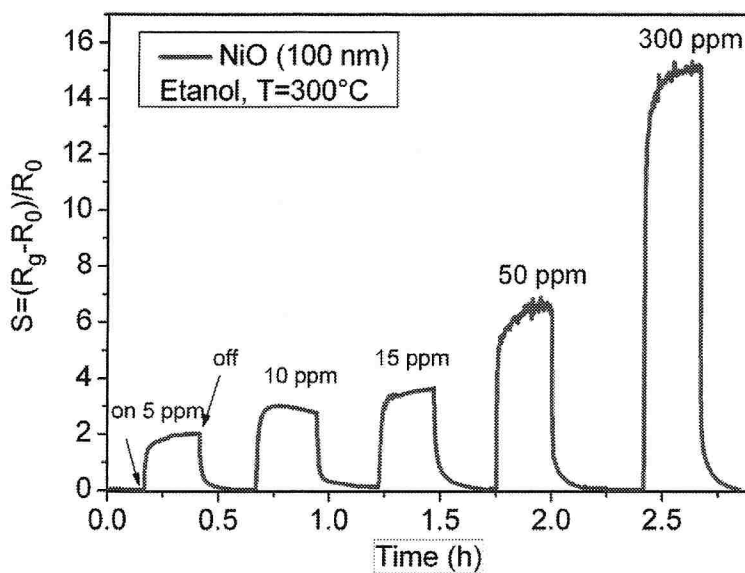
$$S = \frac{(R_g - R_0)}{R_0}, \quad (3)$$

kde R_g je hodnota odporu plynovo-citlivej vrstvy prvku po expozičii na testovaný plyn a R_0 je referenčná hodnota od-

poru tejto vrstvy v dusíkovej atmosfére. Takéto meranie nám zároveň umožňuje presnejšie stanoviť dynamické parametre prvku (čas odozvy – $t_{0,9}$, a čas zotavenia – $t_{0,1}$). Každé meranie odozvy mikrosenzorového prvku na testovaný plyn bolo uskutočnené kvôli eliminácii nežiaducích vplyvov 3-krát za sebou, čím sa zvýšila reproducibilnosť a hodnotovnosť nameraných charakteristik. Na obr. 6 a 7 sú zobrazené dynamické časové odozvy mikrosenzorového prvku s citlivou vrstvou na báze NiO uskutočnené pri pracovnej teplote 300 °C, pričom boli zaznamenané zreteľné zmeny v hodnote citlivosti už pri koncentrácií 10 ppm v prípade vodíka a v prípade etanolu dokonca pri minimálnej koncentrácií 5 ppm.



Obr. 6. Dynamické časové odozvy NiO mikrosenzorového prvku na prítomnosť nízkych koncentrácií H_2



Obr. 7. Časová závislosť citlivosti NiO mikrosenzorového prvku na rôzne nízke koncentrácie párov etanolu

6 Záver

Navrhnutá bola metodika merania a zrealizované pracovisko, ktoré umožňuje prípravu nízkych koncentrácií plynov a pár organických rozpúšťadiel. Zároveň bol vyvinutý prototyp elektronického inteligentného modulu, ktorý umožňuje riadiť ohrev plynovo-citlivej vrstvy do teplôt nad 300 °C, snímať a zaznamenávať hodnotu odporu citlivej vrstvy v rozsahu desiatok kΩ až stoviek MΩ, meranie teploty okolitého prostredia, riadenie merania prostredníctvom vzdialého osobného počítača pripojeného cez USB rozhranie. Na potvrdenie funkčnosti pracoviska a meracieho inteligentného modulu boli uskutočnené merania detekcie vodíka v rozsahu 10 ppm až 400 ppm a pár etanolu s koncentráciou od 5 ppm do 300 ppm pomocou mikrosenzorového prvku na báze NiO tenkých vrstiev.

Podakovanie

Táto práca vznikla s podporou Vedeckej agentúry (VEGA) MŠ SR a SAV, č. 1/1106/12, Agentúry pre podporu vedy a výskumu (APVV), č. APVV-0199-10 a Kompetenčného centra pre SMART technológie pre elektroniku a informačné systémy, ITMS 26240220072.

Literatúra

- [1] KHATKO, V., CALDERER, J., LLOBET, E., CORREG, X. New technology of metal oxide thin film preparation for chemical sensor application. In *Sensors and Actuators: B Chemical*, 2005, vol. 109, p. 128-134.
- [2] GURLO, A., RIEDEL, R. Shape-, Size- and Phase-Controlled Indium Oxide for Gas Sensing. In *IEEE Sensors 2008. Proceedings of The 7th IEEE Conference*, p. 1505-1508.
- [3] KOROSTYNNSKA, O., ARSAK, K., HICKEY, G., FORDE, E. Ozone and gamma radiation sensing properties of $\text{In}_2\text{O}_3:\text{ZnO:SnO}_2$ thin films. In *Microsystem Technologies*, 2008, vol. 14, no. 4-5, p. 557-566.
- [4] KUHNE, S., GRAF, M., TRICOLI, A., MAYER, F., PRATSINIS, S. E., HIERLEMANN, A. Wafer-level flame-spray-pyrolysis deposition of gas-sensitive layers on microsensors. In *Journal of Micro-mechanics and Microengineering*, 2008, vol. 18, no. 3 art. 035040.

DETECTION OF LOW GAS AND ORGANIC VAPOURS CONCENTRATIONS USING MICROSENSOR ELEMENTS

Ivan Hotový, Martin Predanocy, Dalibor Búc, Eduard Burian

Abstract

The aim of manuscript is concerned to the possibility of detection of low gas and organic vapours concentrations using microsensor elements based on NiO thin films. The paper describes the methodology of the preparation of these low concentrations. The second part of paper provides the development of intelligent measuring module, which exhibits small dimensions, precision and low electrical power. The measurements of low concentrations of hydrogen and ethanol were realized to confirm the compatibility of both devices.

Keywords

detection of gases and vapours, microsensor element, intelligent measuring module